

FIG. 1 PRIOR ART

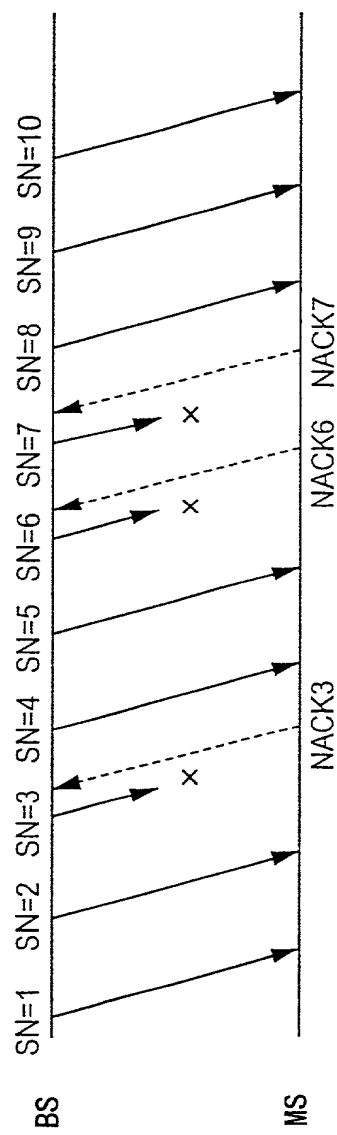


FIG. 2 PRIOR ART

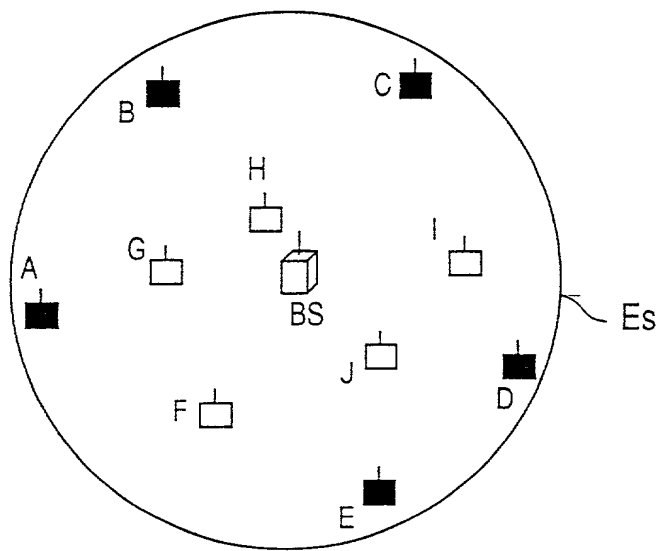


FIG. 3 PRIOR ART

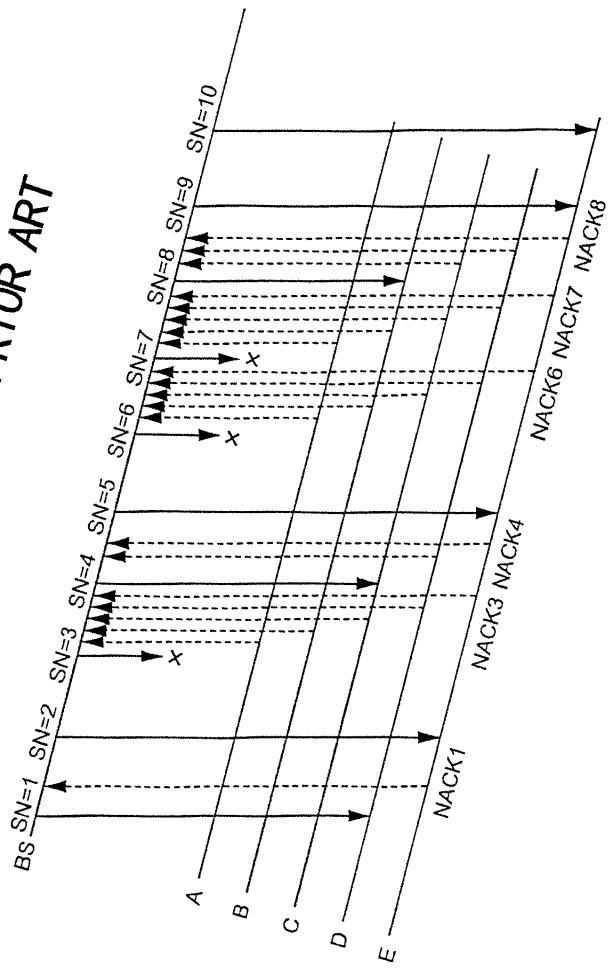


FIG. 4

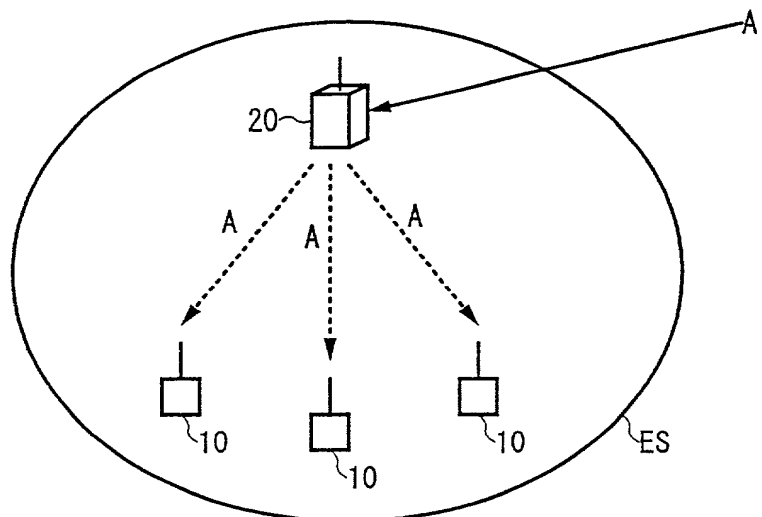
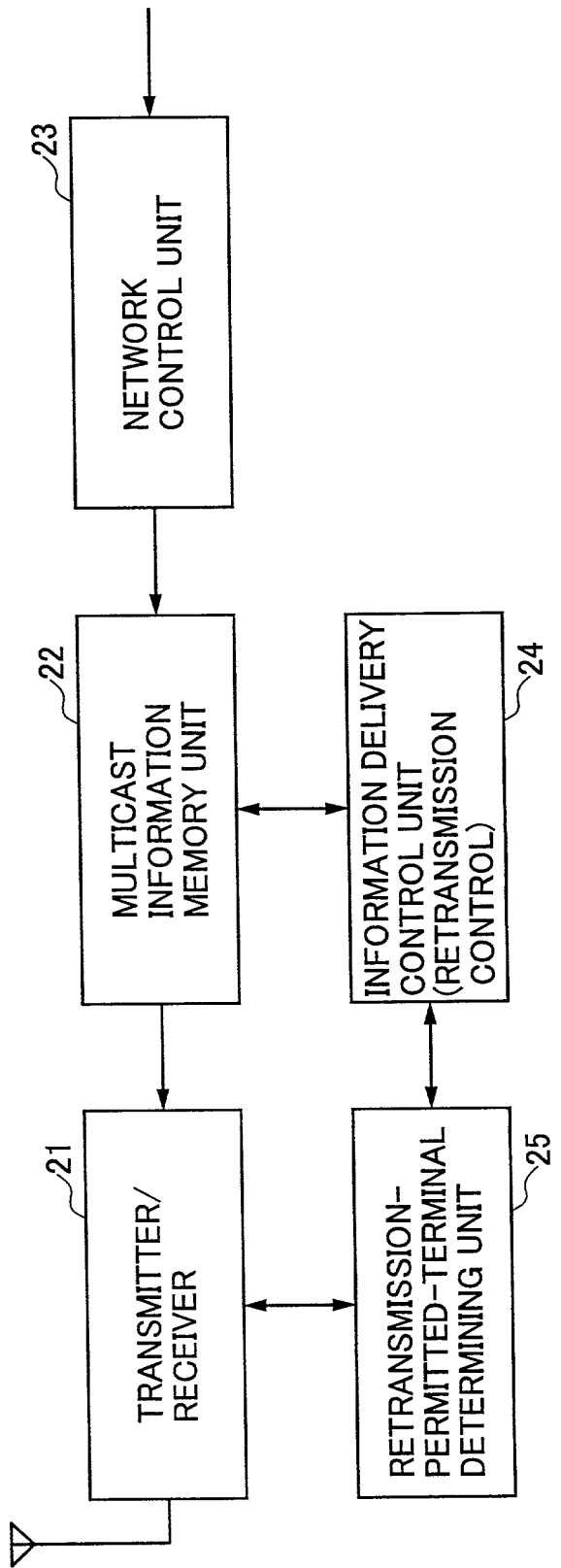


FIG.5



OBLON, SPIVAK, ET AL
 DOCKET #: 206006US2
 INV: Hijin SATO, et al.
 SHEET 6 OF 12

FIG. 6

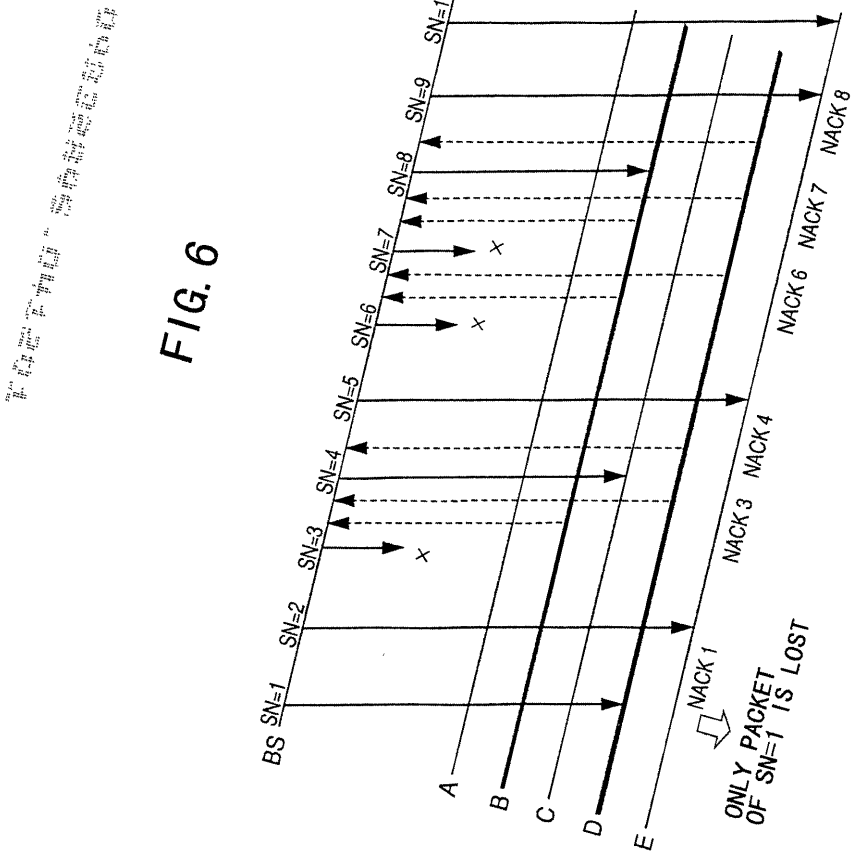


FIG. 7

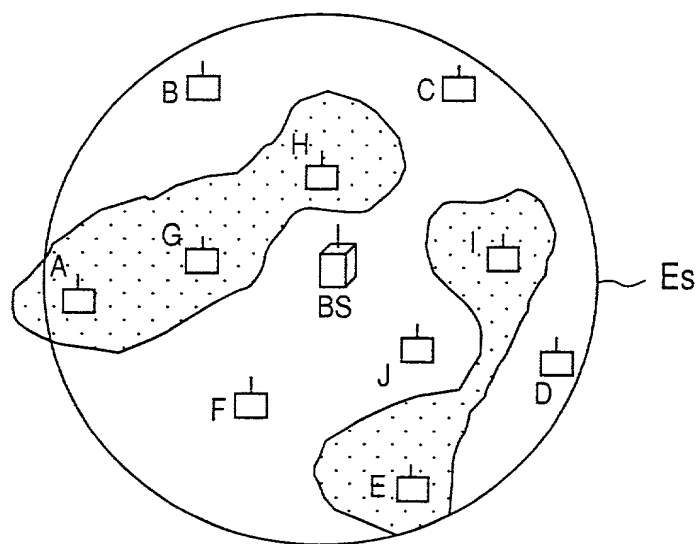


FIG. 8

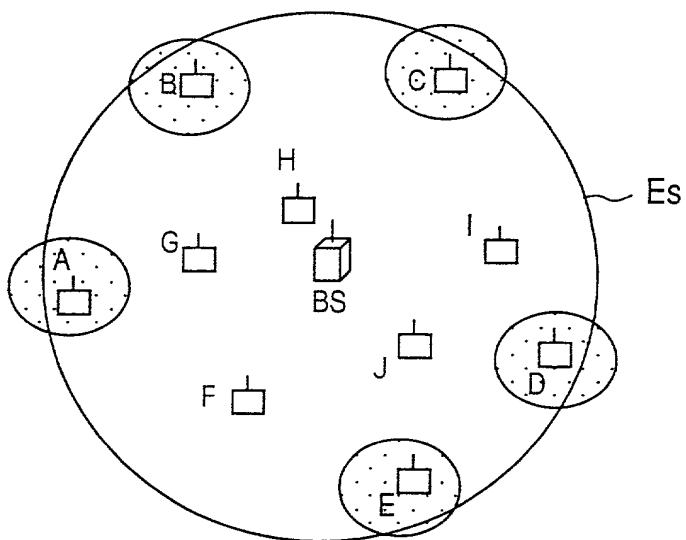


FIG. 9

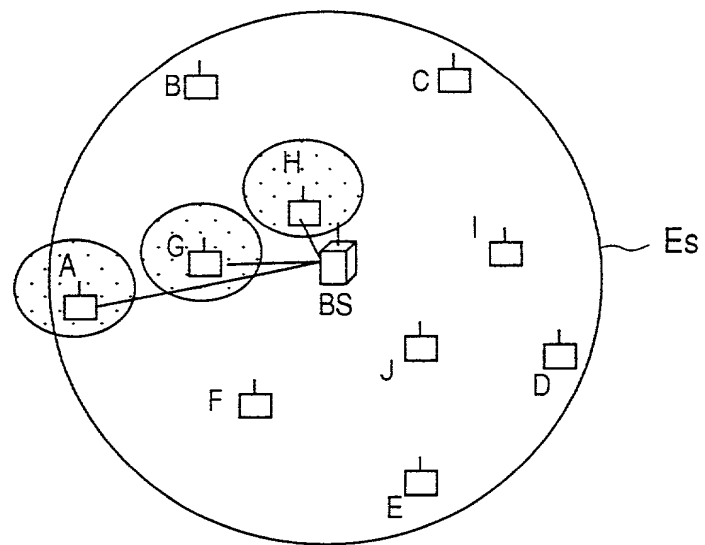


FIG. 10

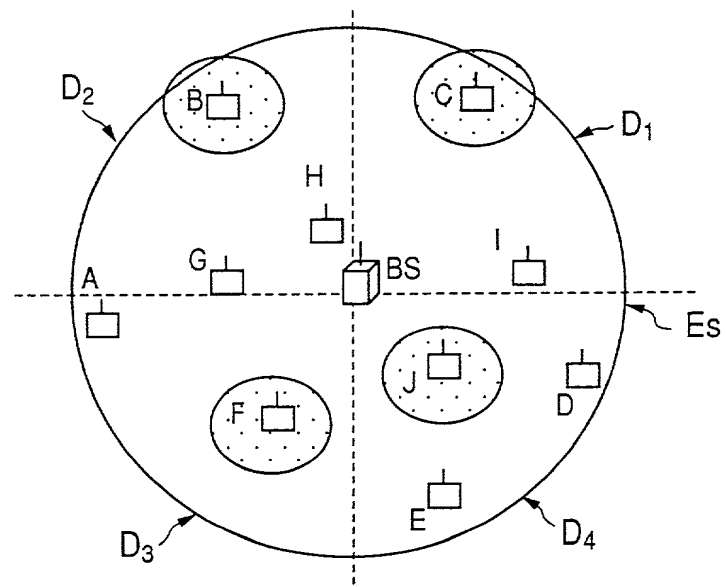


FIG. 11

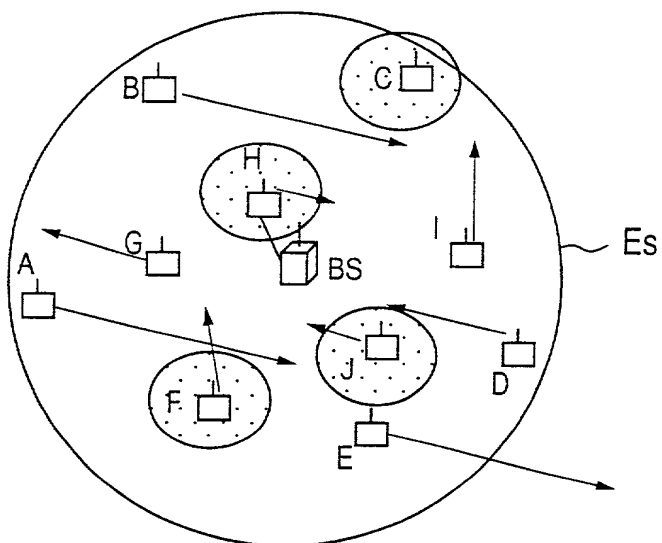


FIG. 12

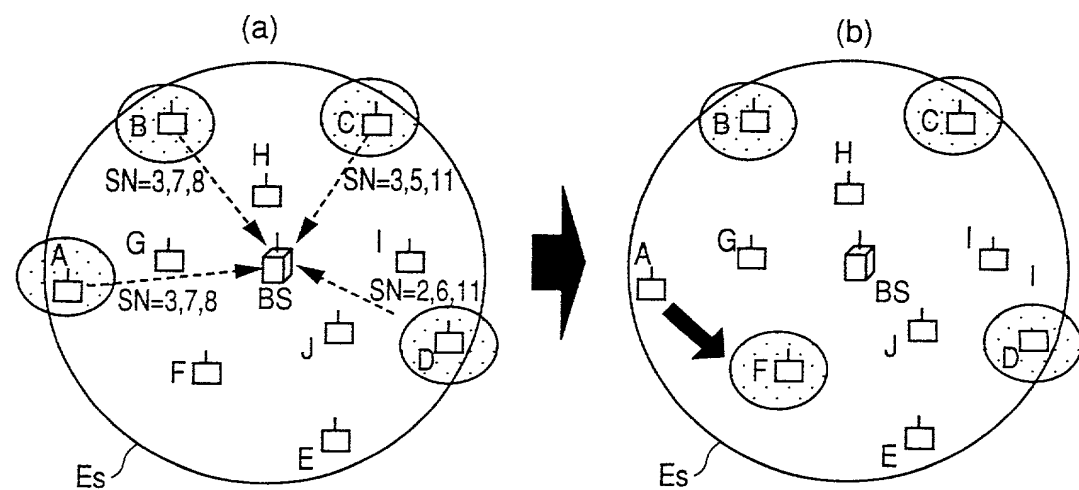


FIG. 13

	A	B	C	D	
SN=2				○	D
SN=3	○	○	○		A, B, C
SN=5			○		C
SN=6				○	D
SN=7	○	○			A, B
SN=8	○	○			A, B
SN=11			○	○	C, D

FIG. 14

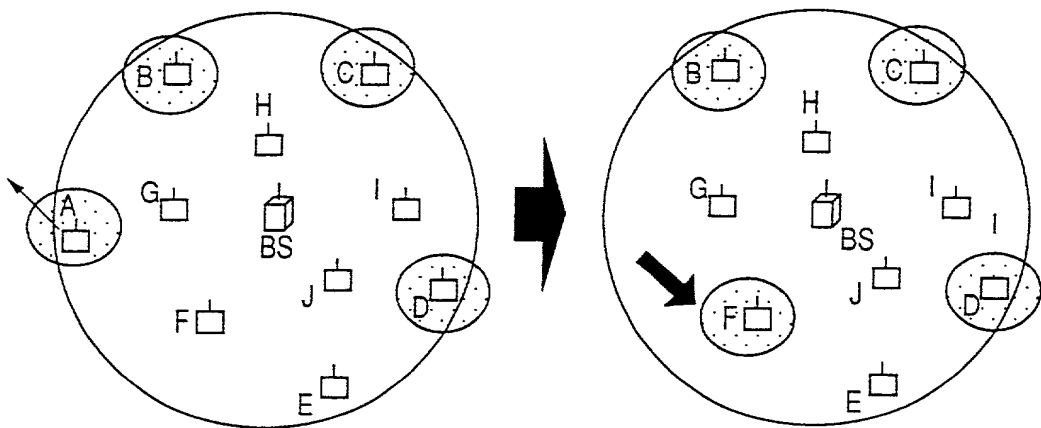


FIG.15

